

Fig. 1.53. Spatial distribution of the winter maximum cumulative duration of moderate warm spells  
 Distribuția spațială a duratei cumulate maxime a perioadelor calde moderate din anotimpul de iarnă

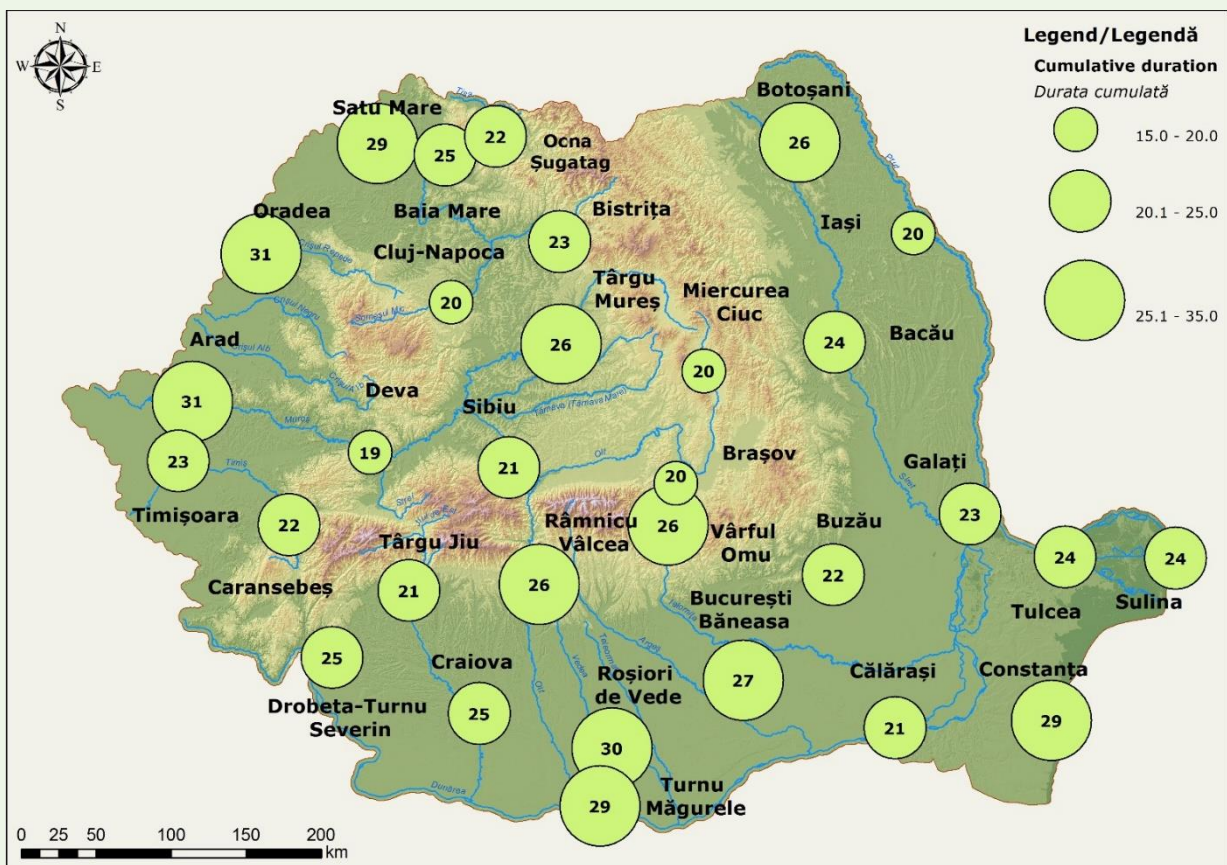


Fig. 1.54. Spatial distribution of the spring maximum cumulative duration of moderate warm spells  
 Distribuția spațială a duratei cumulate maxime a perioadelor calde moderate din anotimpul de primăvară

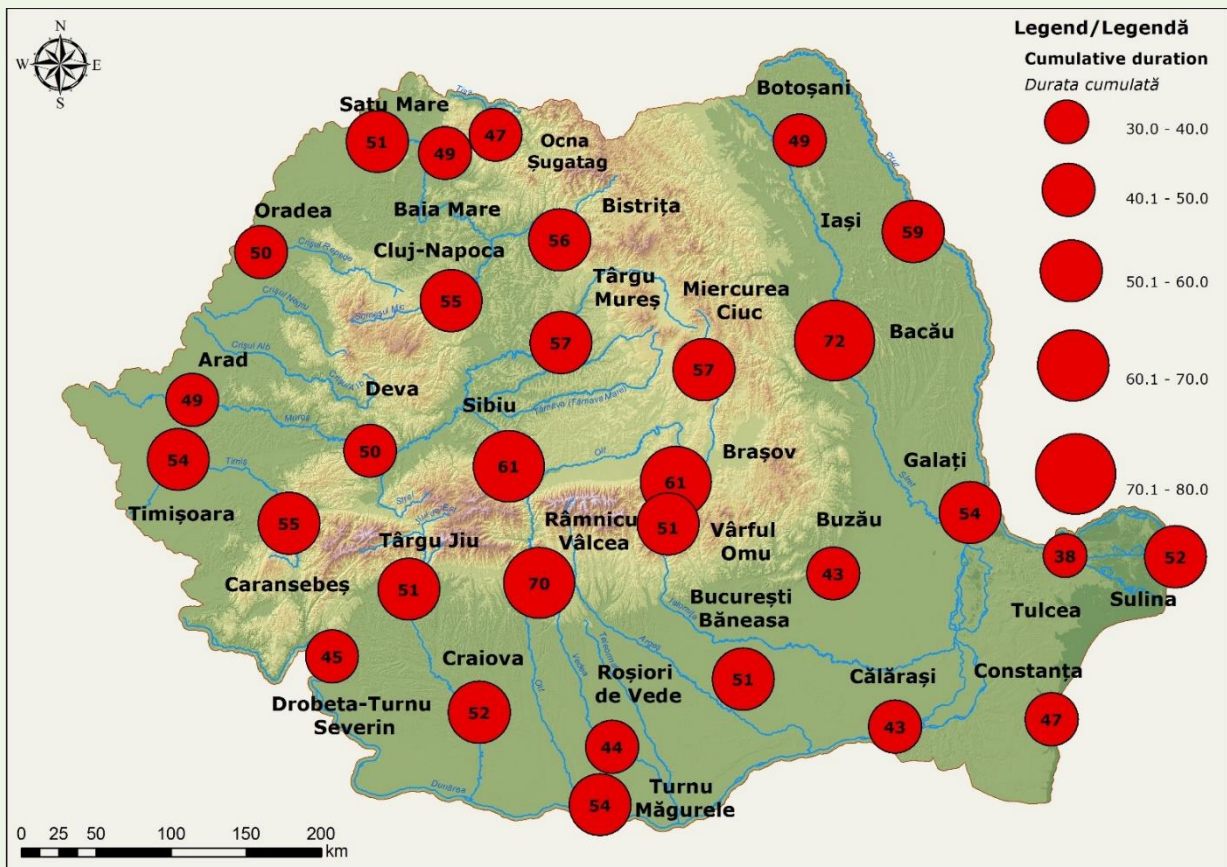


Fig. 1.55. Spatial distribution of the summer maximum cumulative duration of moderate heat waves  
Distribuția spațială a duratei cumulate maxime a valurilor de căldură moderate din anotimpul de vară

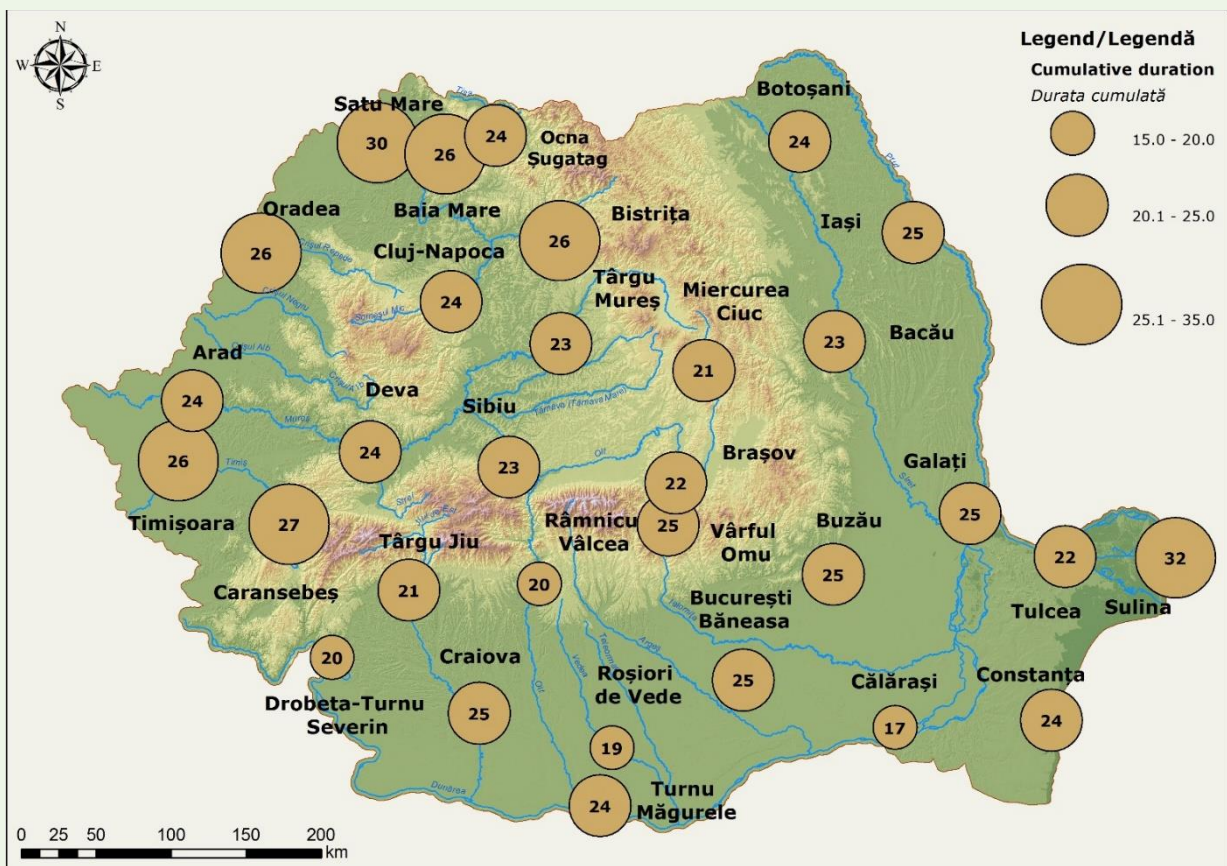


Fig. 1.56. Spatial distribution of the autumn maximum cumulative duration of moderate warm spells  
Distribuția spațială a duratei cumulate maxime a perioadelor calde moderate din anotimpul de toamnă

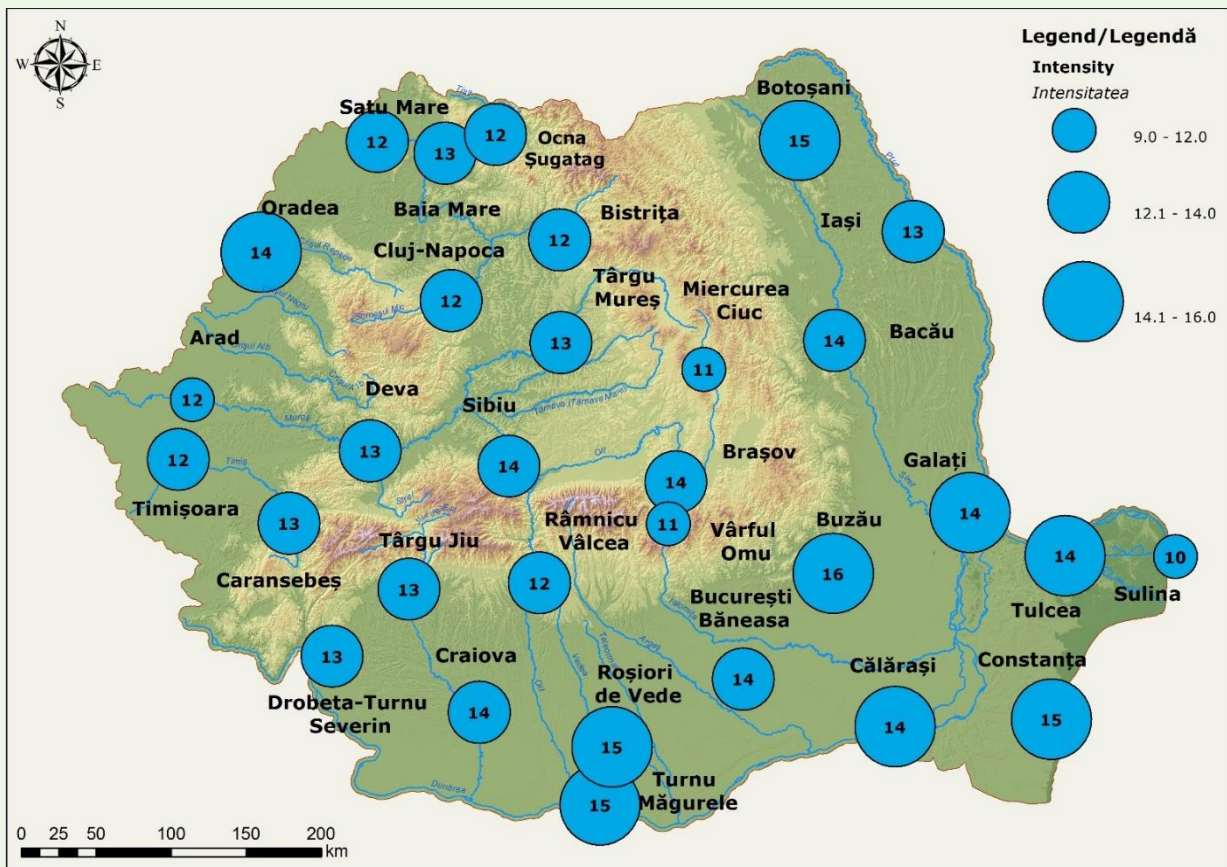


Fig. 1.57. Spatial distribution of the winter maximum intensity of moderate warm spells  
 Distribuția spațială a intensității maxime a perioadelor calde moderate din anotimpul de iarnă

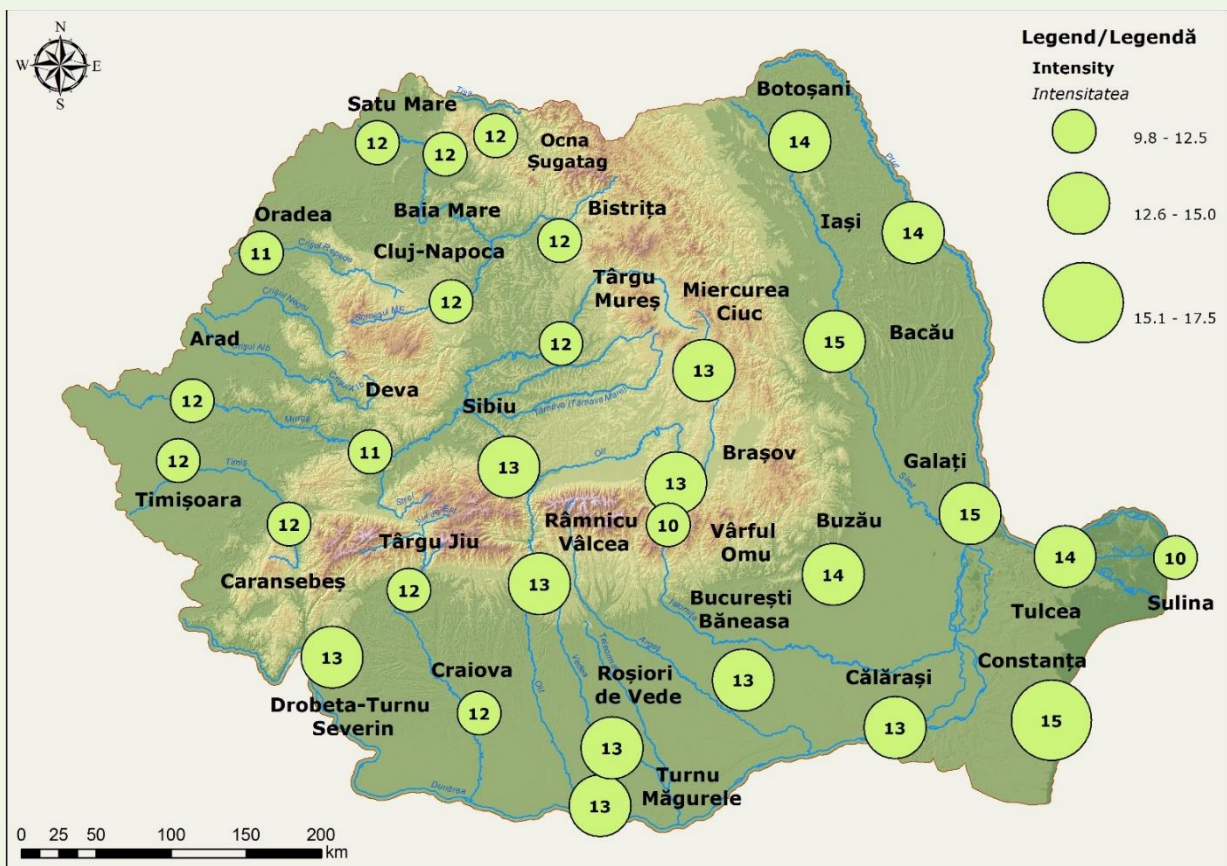


Fig. 1.58. Spatial distribution of the spring maximum intensity of moderate warm spells  
 Distribuția spațială a intensității maxime a perioadelor calde moderate din anotimpul de primăvară

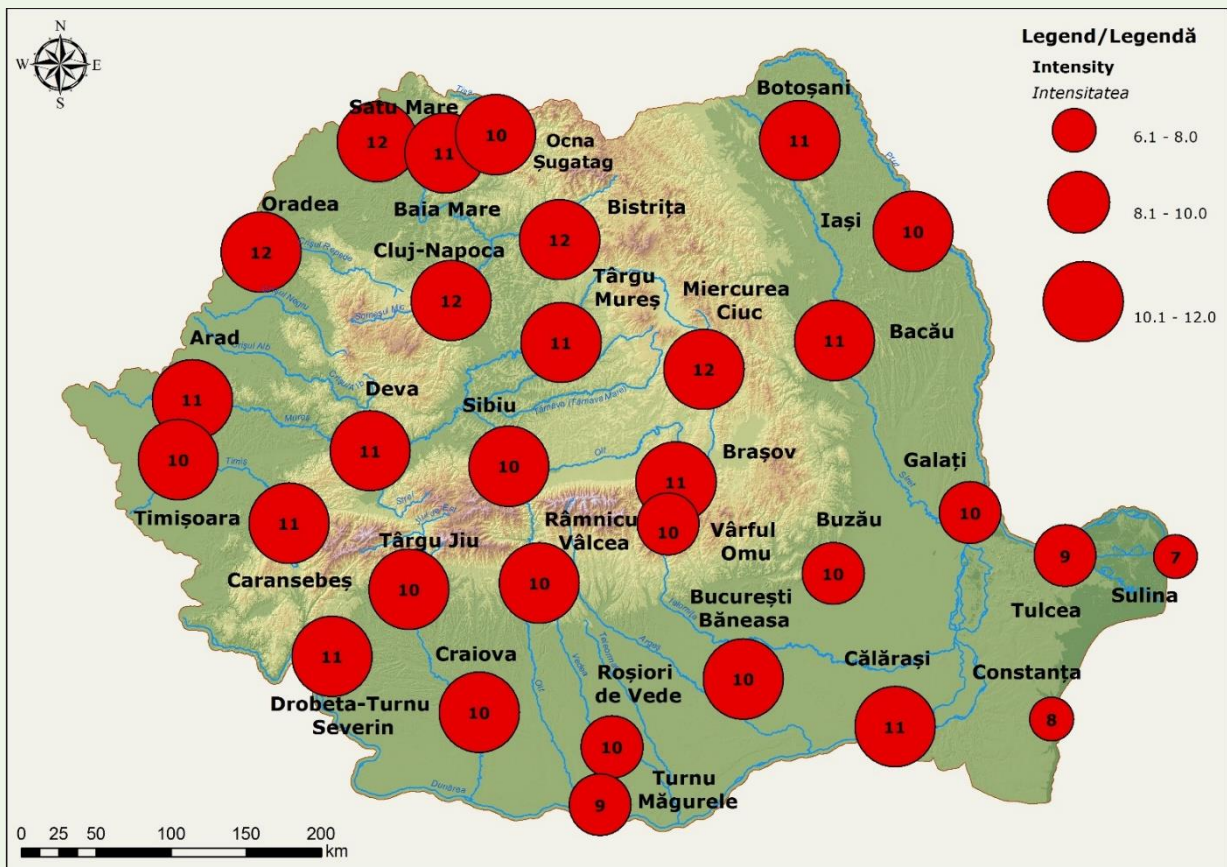


Fig. 1.59. Spatial distribution of the summer maximum intensity of moderate heat waves  
 Distribuția spațială a intensității maxime a valurilor de căldură moderate din anotimpul de vară

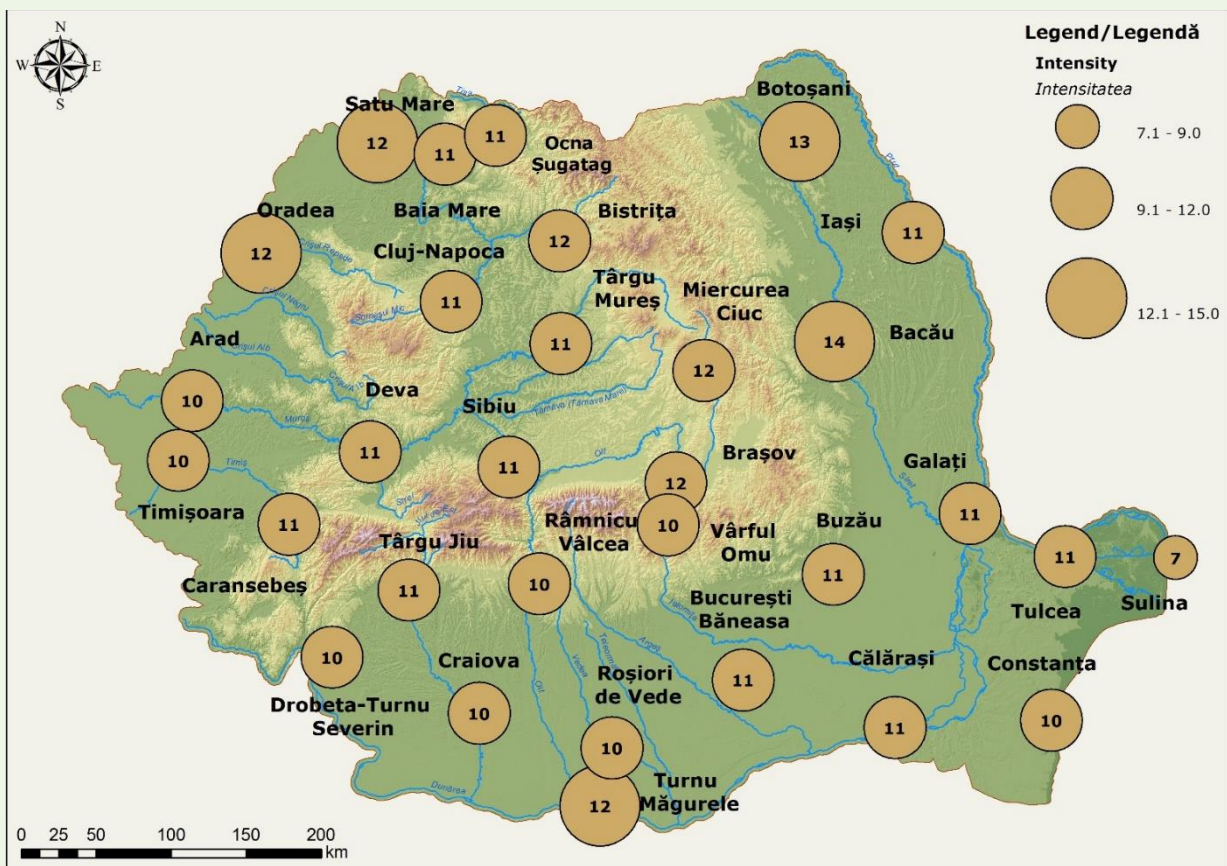


Fig. 1.60. Spatial distribution of the autumn maximum intensity of moderate warm spells  
 Distribuția spațială a intensității maxime a perioadelor calde moderate din anotimpul de toamnă

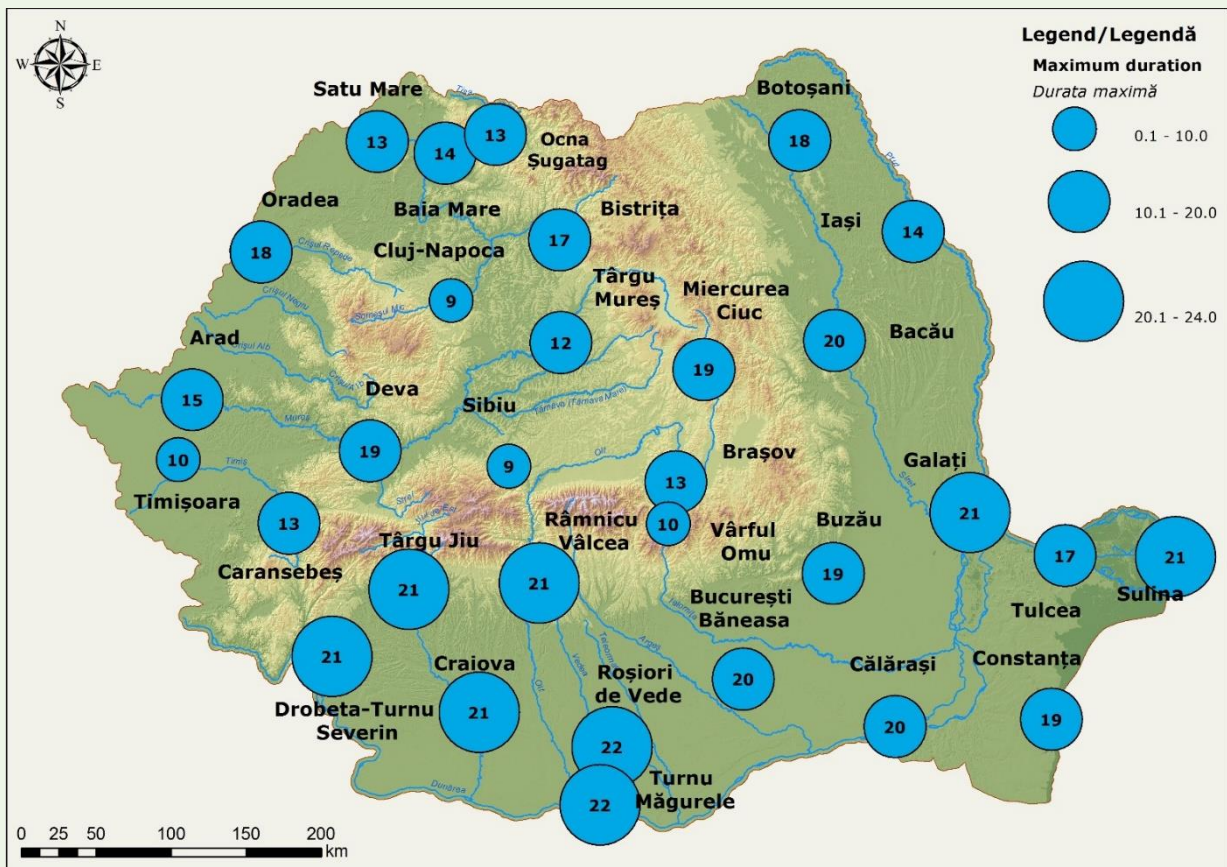


Fig. 1.61. Spatial distribution of the winter maximum duration of moderate warm spells  
 Distribuția spațială a duratei maxime a perioadelor calde moderate din anotimpul de iarnă

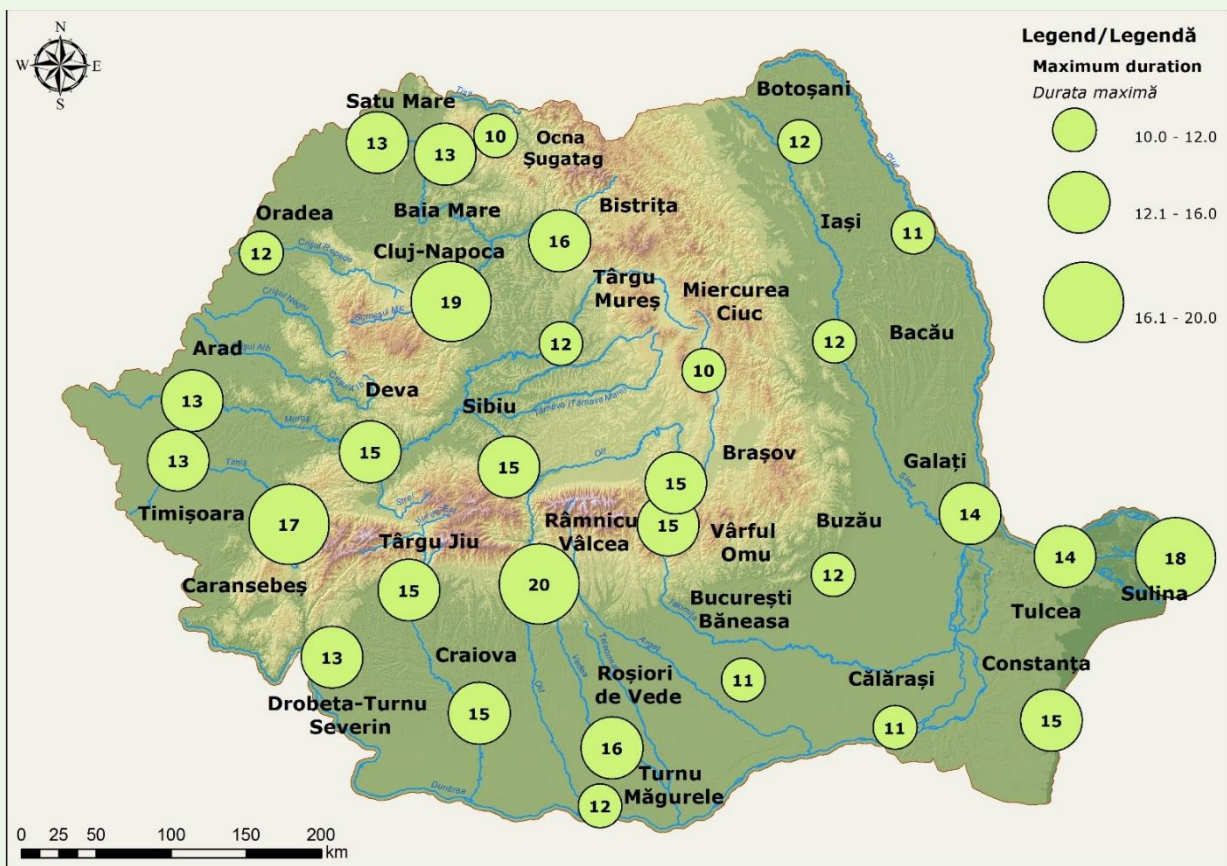


Fig. 1.62. Spatial distribution of the spring maximum duration of moderate warm spells  
 Distribuția spațială a duratei maxime a perioadelor calde moderate din anotimpul de primăvară

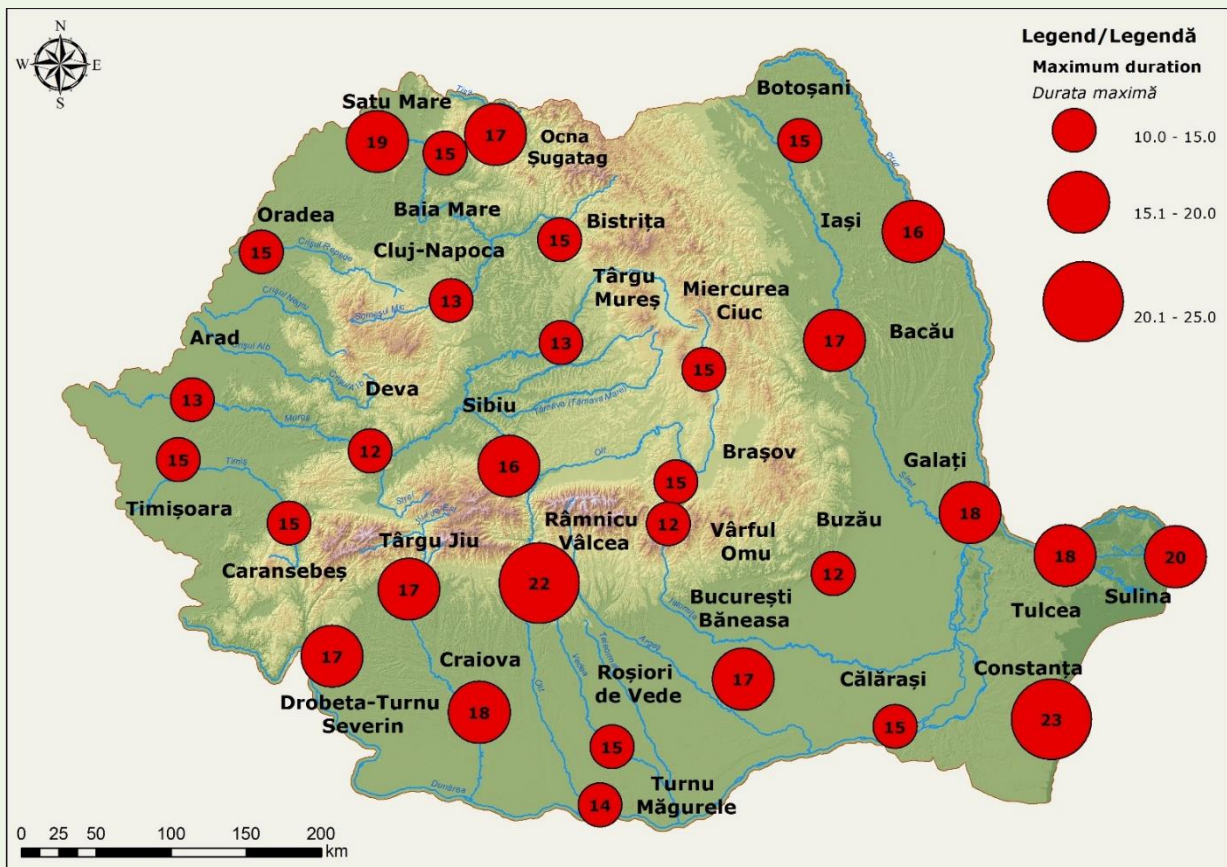


Fig. 1.63. Spatial distribution of the summer maximum duration of moderate heat waves  
 Distribuția spațială a duratei maxime a valurilor de căldură moderate din anotimpul de vară

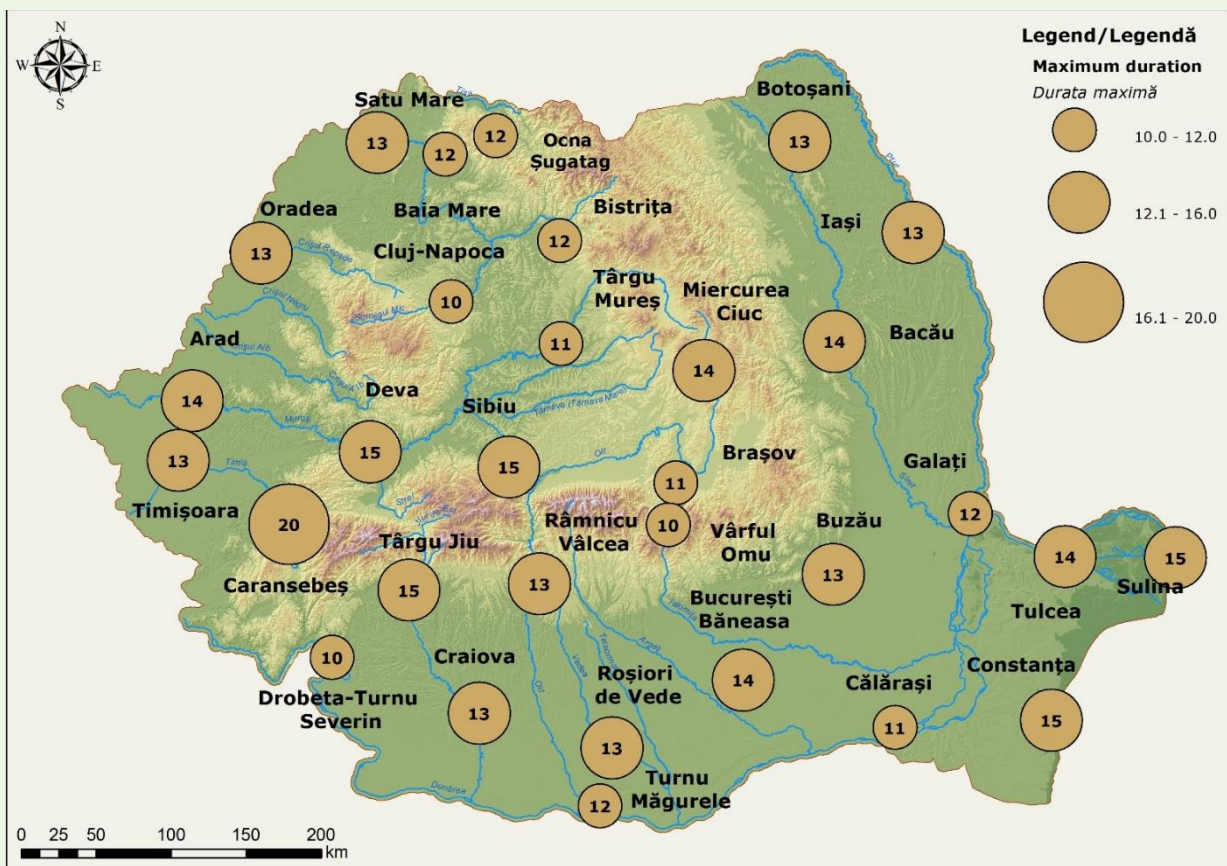


Fig. 1.64. Spatial distribution of the autumn maximum duration of moderate warm spells  
 Distribuția spațială a duratei maxime a perioadelor calde moderate din anotimpul de toamnă

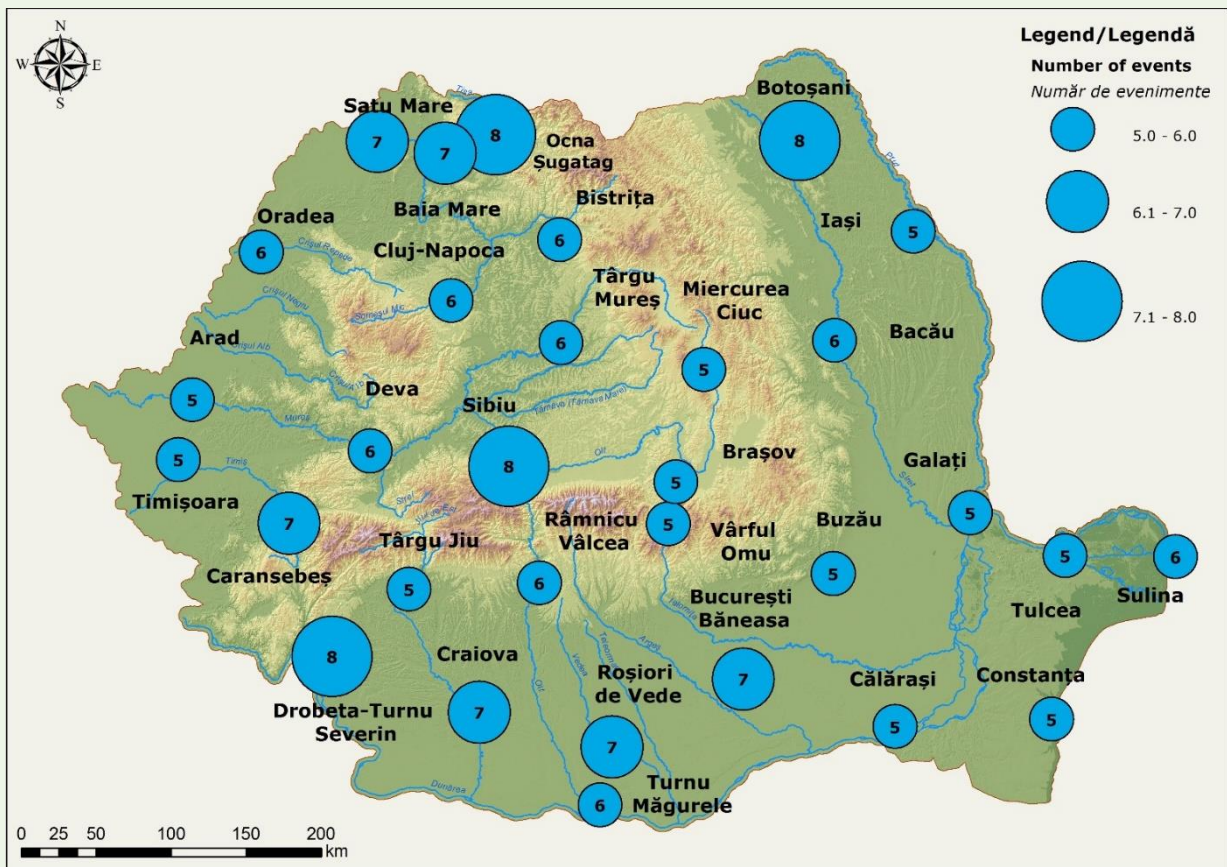


Fig. 1.65. Spatial distribution of the winter maximum number of moderate warm spells  
 Distribuția spațială a numărului maxim al perioadelor calde moderate din anotimpul de iarnă

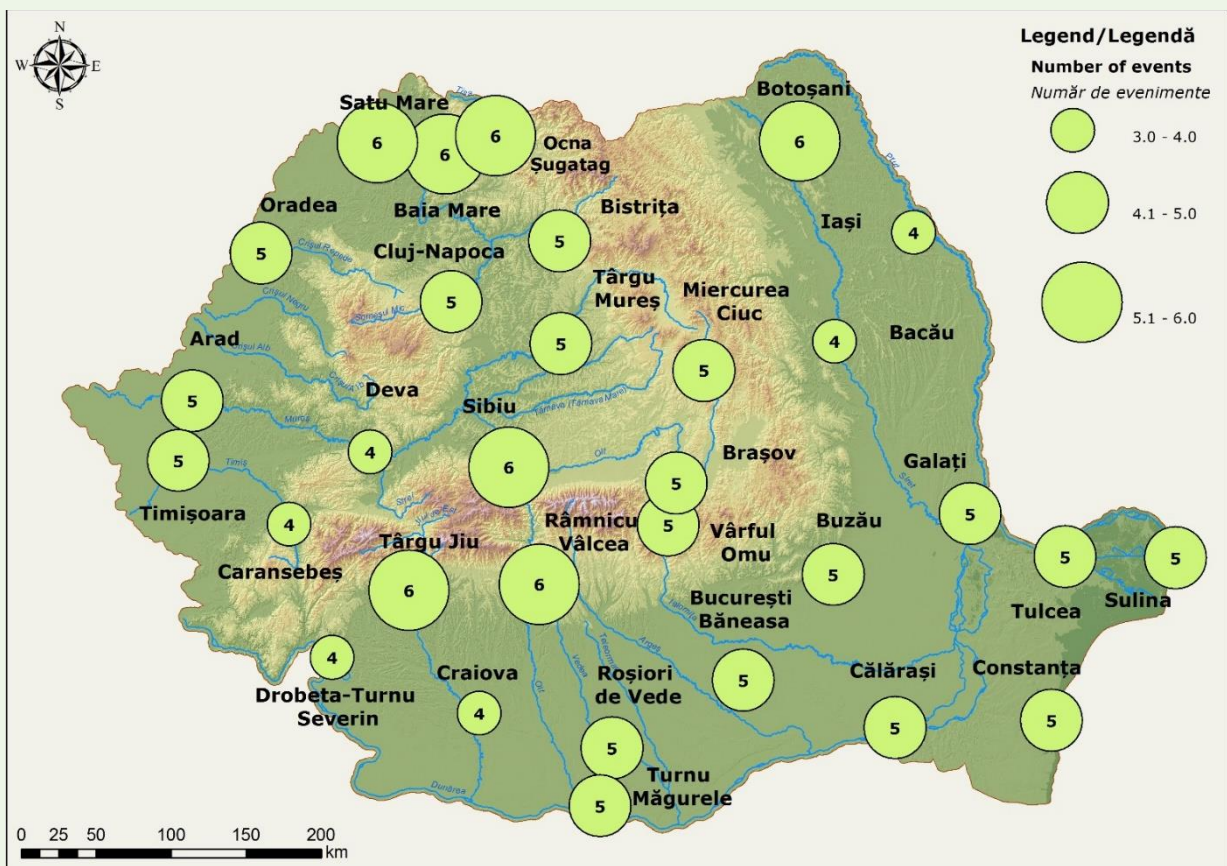


Fig. 1.66. Spatial distribution of the spring maximum number of moderate warm spells  
 Distribuția spațială a numărului maxim al perioadelor calde moderate din anotimpul de primăvară

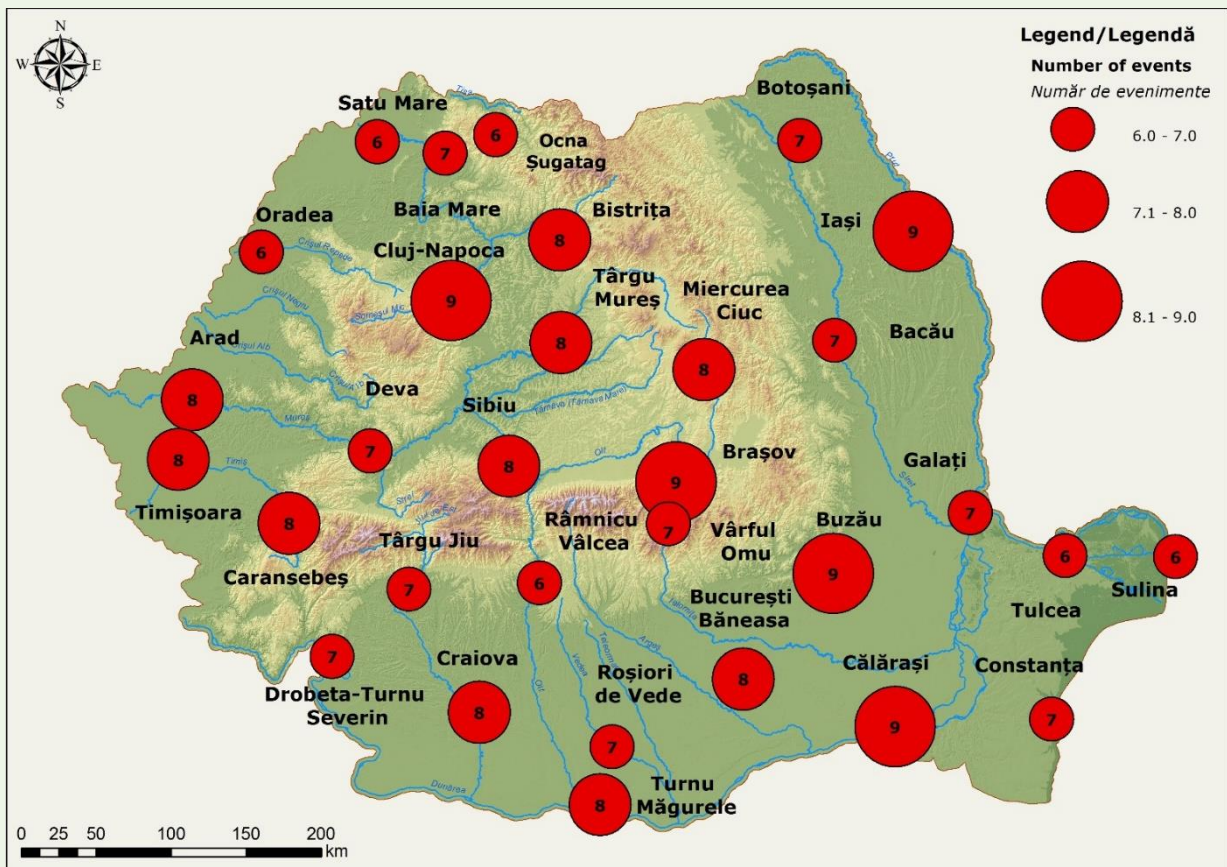


Fig. 1.67. Spatial distribution of the summer maximum number of moderate heat waves  
 Distribuția spațială a numărului maxim al valurilor de căldură moderate din anotimpul de vară

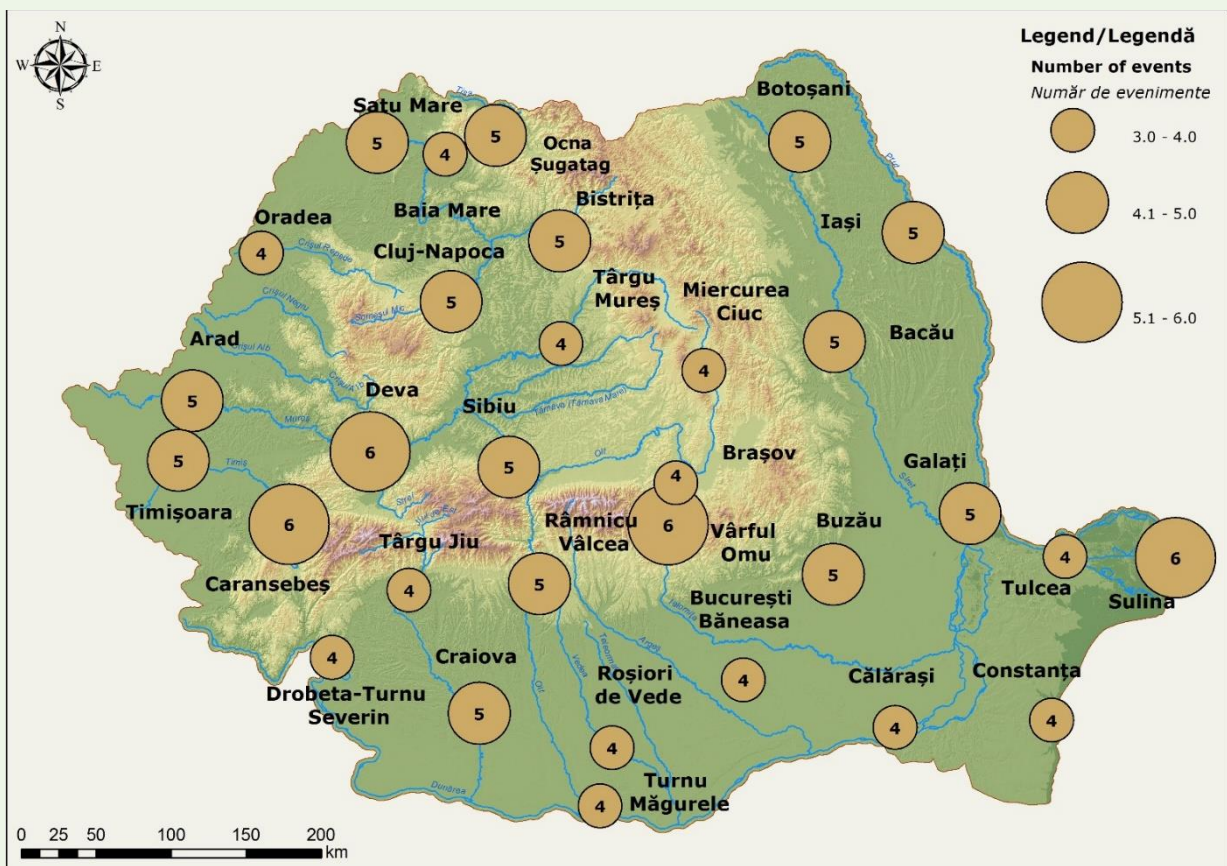


Fig. 1.68. Spatial distribution of the autumn maximum number of moderate warm spells  
 Distribuția spațială a numărului maxim al perioadelor calde moderate din anotimpul de toamnă



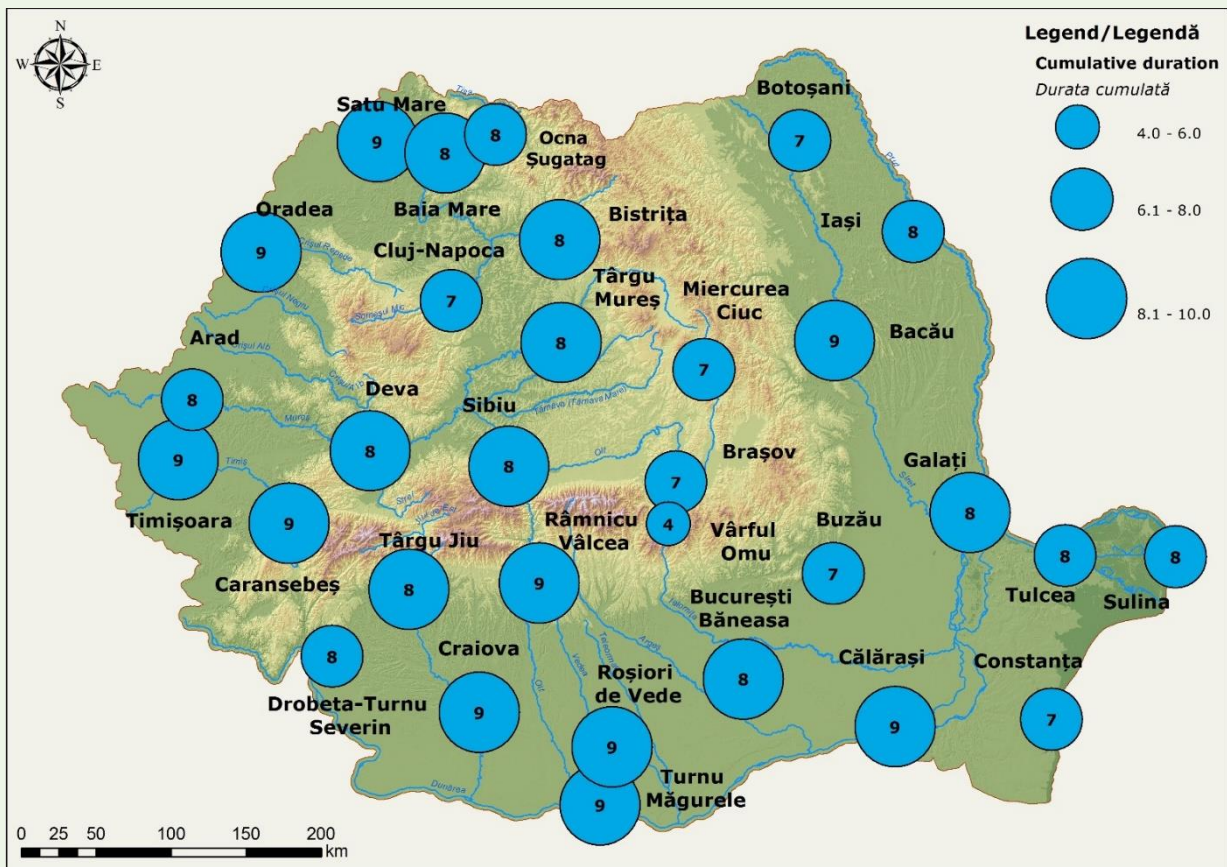


Fig. 1.69. Spatial distribution of the winter mean cumulative duration of moderate warm spells  
 Distribuția spațială a duratei cumulate medii a perioadelor calde moderate din anotimpul de iarnă

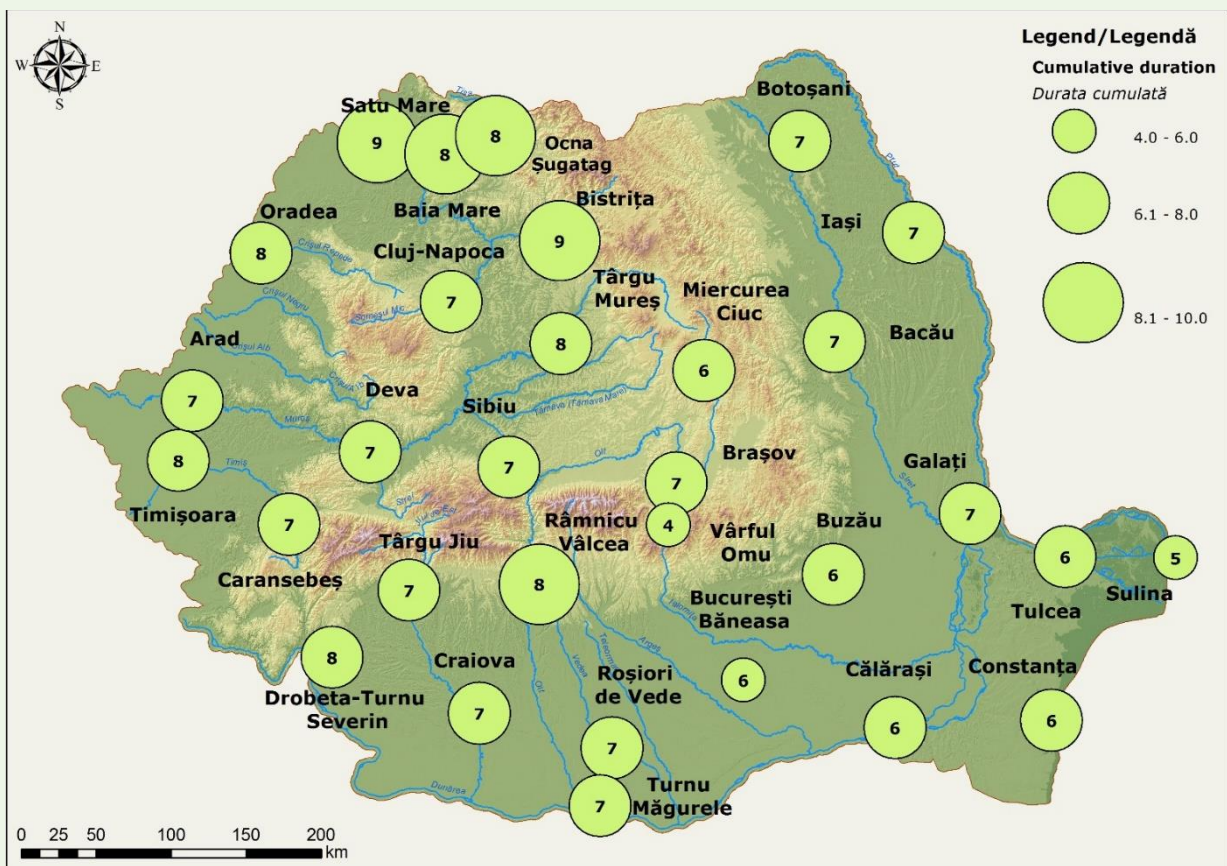


Fig. 1.70. Spatial distribution of the spring mean cumulative duration of moderate warm spells  
 Distribuția spațială a duratei cumulate medii a perioadelor calde moderate din anotimpul de primăvară

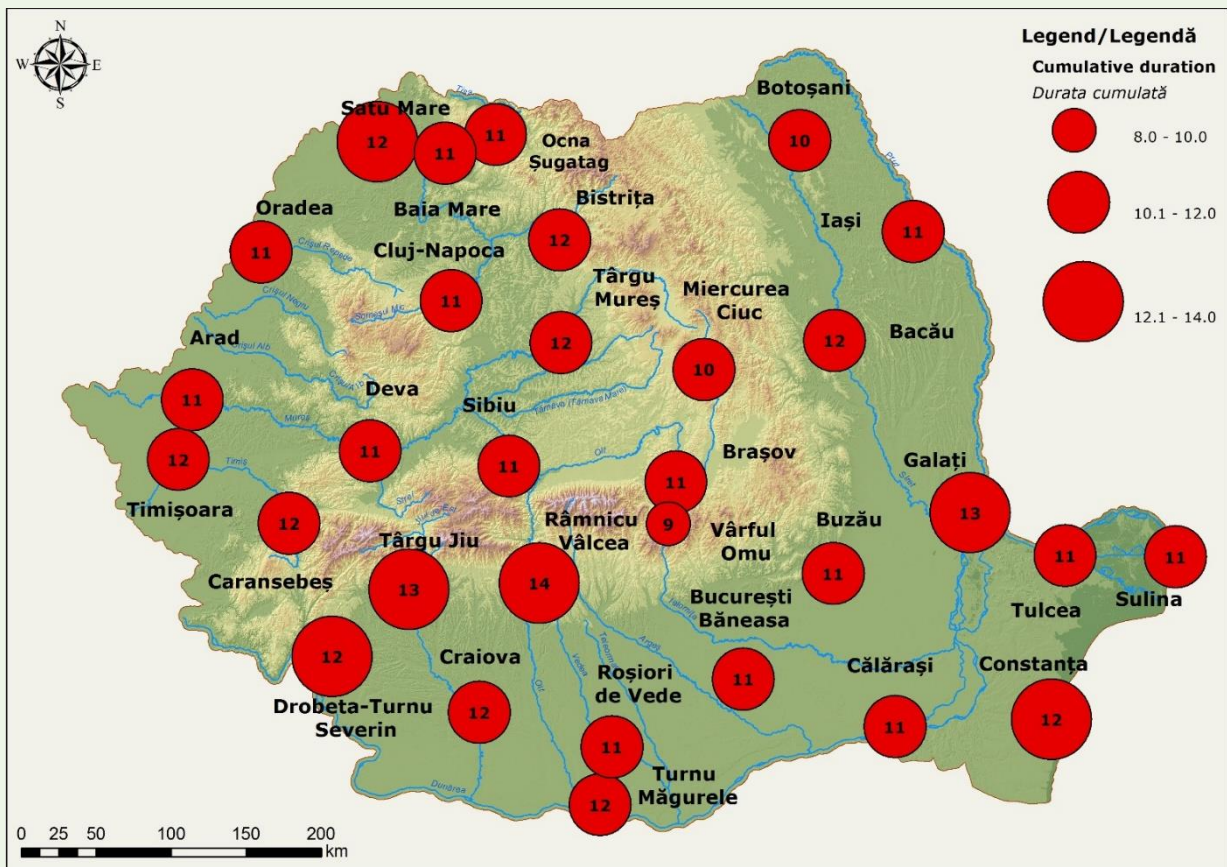


Fig. 1.71. Spatial distribution of the summer mean cumulative duration of moderate heat waves  
 Distribuția spațială a duratei cumulate medii a valurilor de căldură moderate din anotimpul de vară

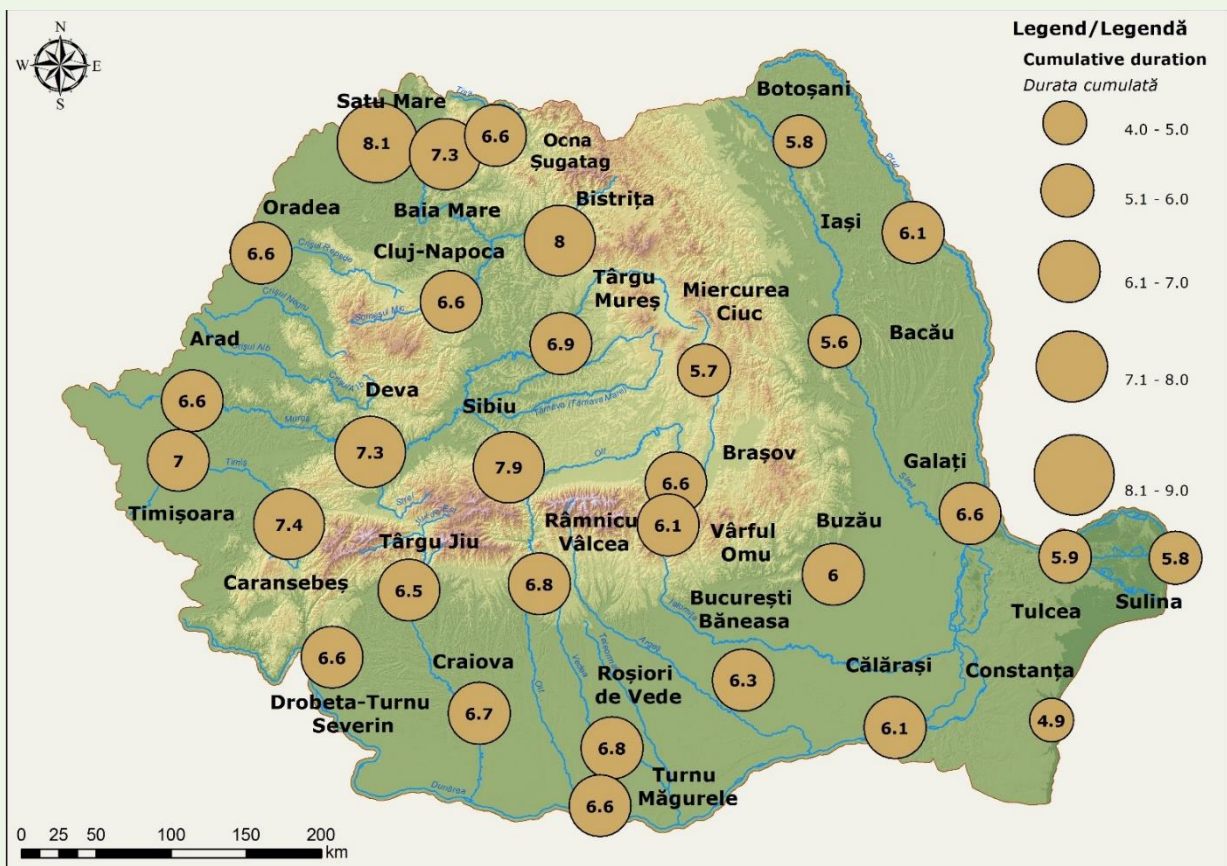


Fig. 1.72. Spatial distribution of the autumn mean cumulative duration of moderate warm spells  
 Distribuția spațială a duratei cumulate medii a perioadelor calde moderate din anotimpul de toamnă

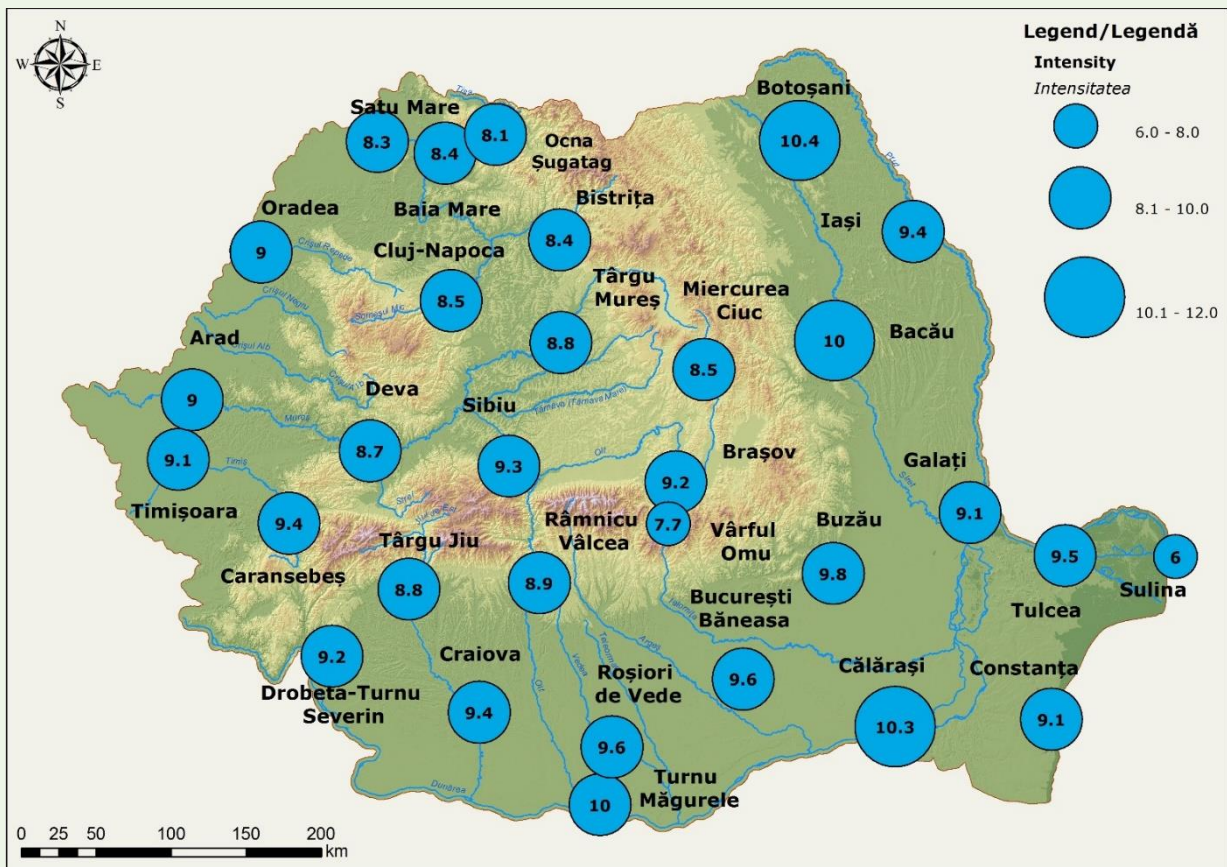


Fig. 1.73. Spatial distribution of the winter mean intensity of moderate warm spells  
 Distribuția spațială a intensității medii a perioadelor calde moderate din anotimpul de iarnă

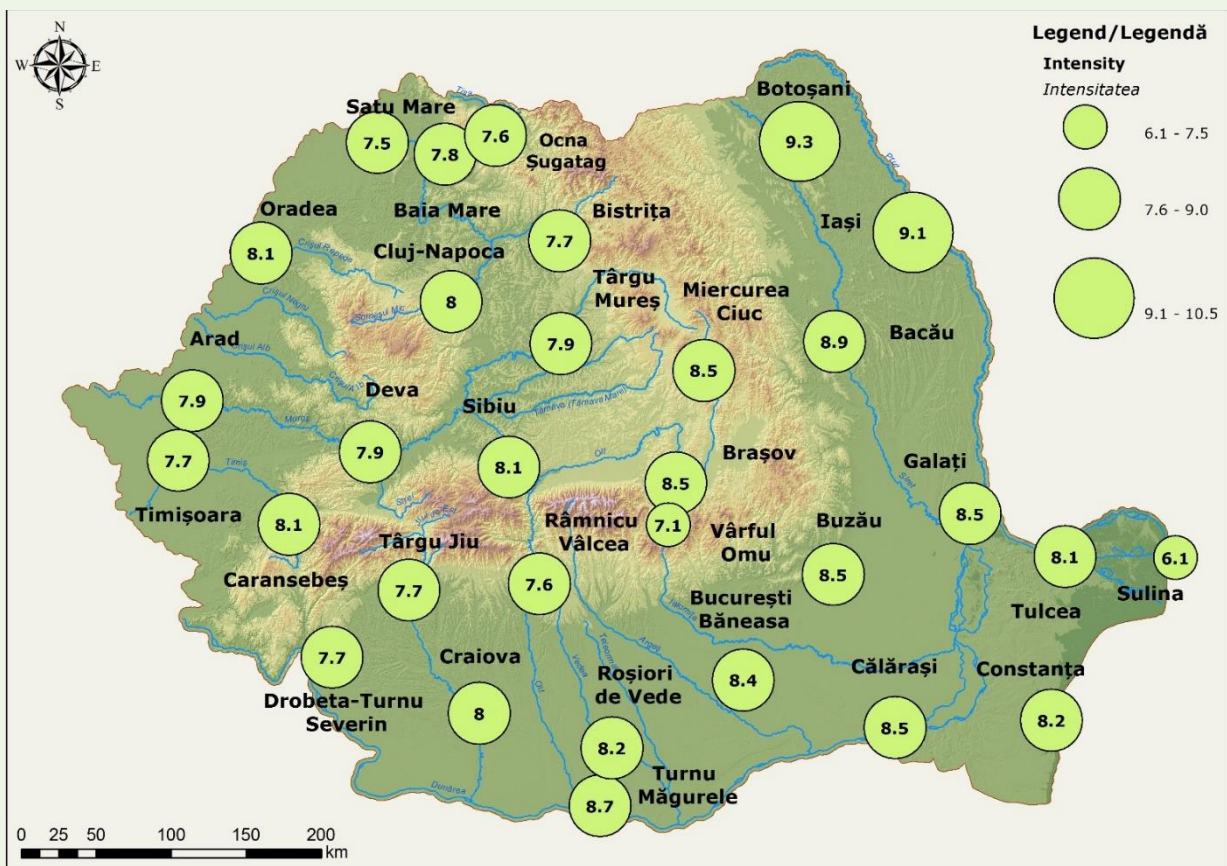


Fig. 1.74. Spatial distribution of the spring mean intensity of moderate warm spells  
 Distribuția spațială a intensității medii a perioadelor calde moderate din anotimpul de primăvară

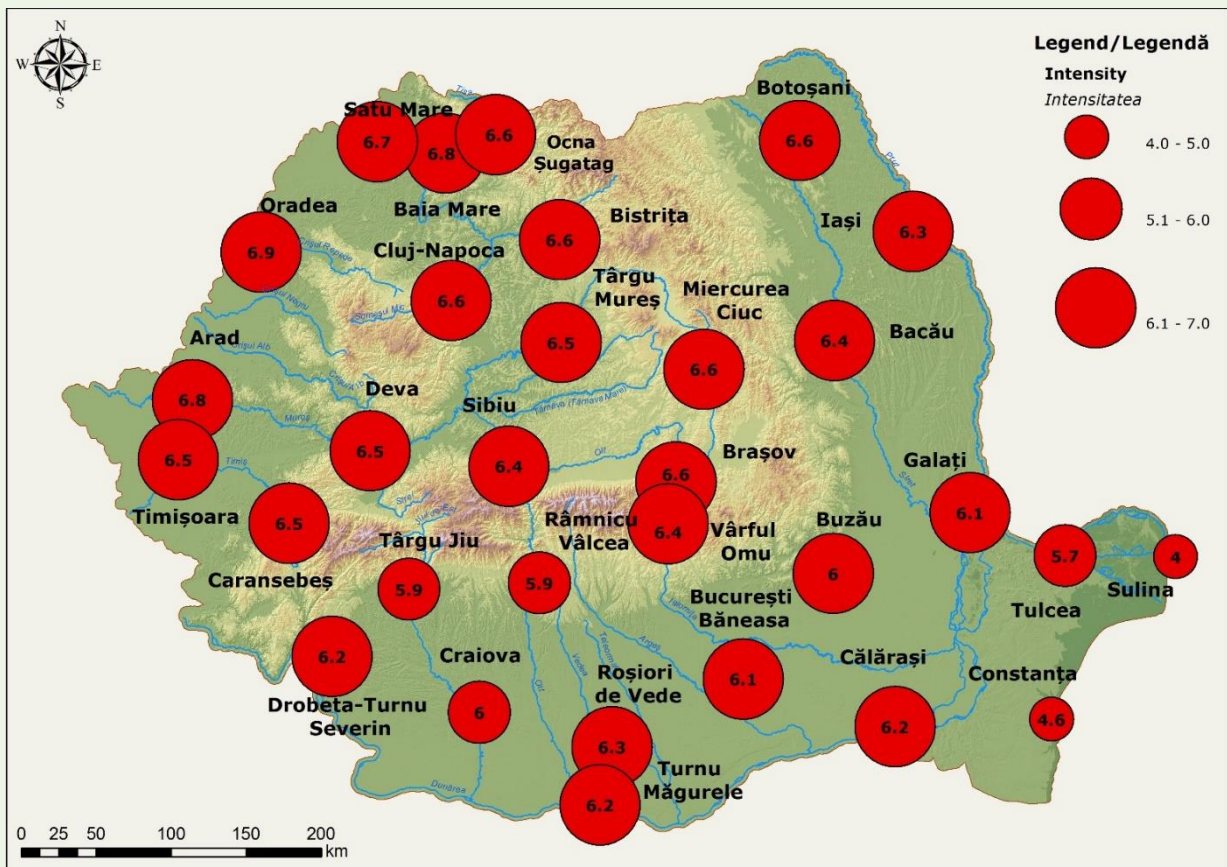


Fig. 1.75. Spatial distribution of the summer mean intensity of moderate heat waves  
Distribuția spațială a intensității medii a valurilor de căldură moderate din anotimpul de vară

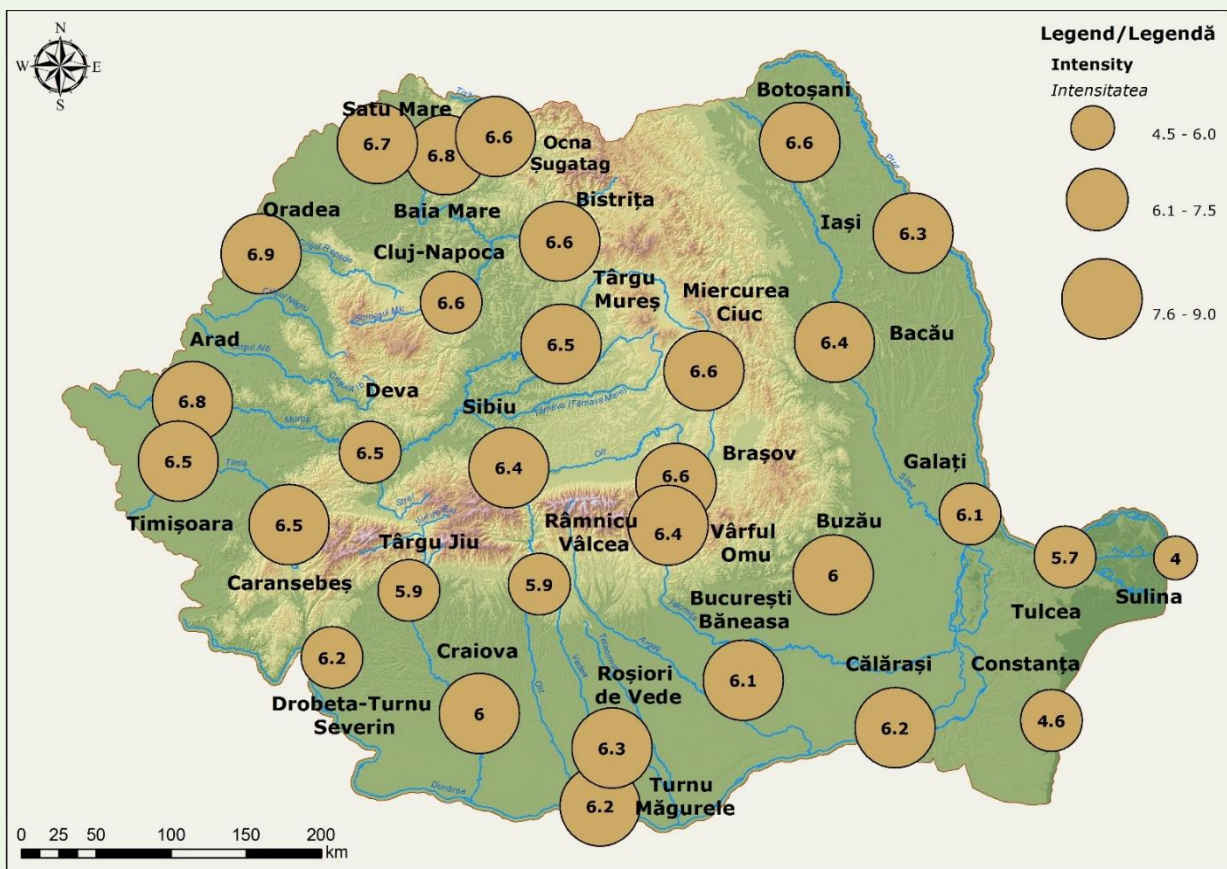


Fig. 1.76. Spatial distribution of the autumn mean intensity of moderate warm spells  
Distribuția spațială a intensității medii a perioadelor calde moderate din anotimpul de toamnă

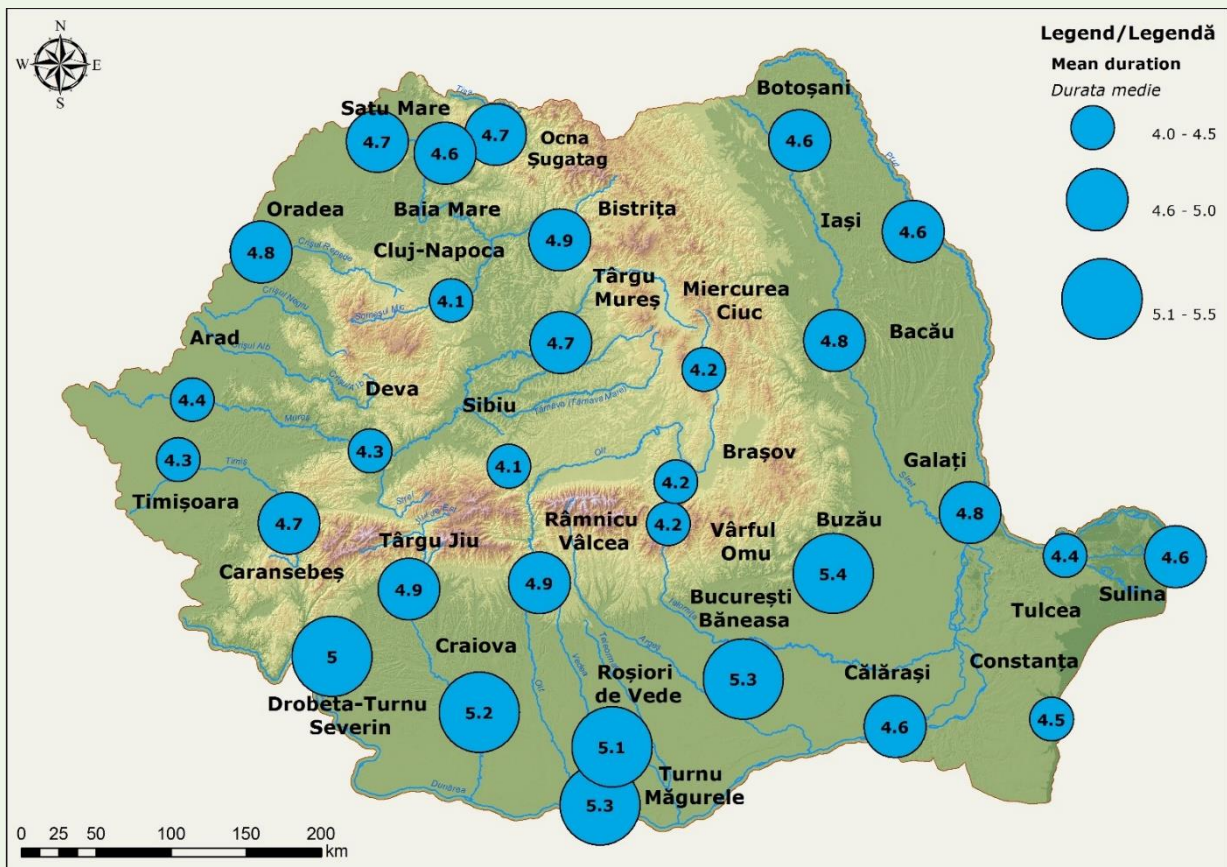


Fig. 1.77. Spatial distribution of the winter mean duration of moderate warm spells  
 Distribuția spațială a duratei medii a perioadelor calde moderate din anotimpul de iarnă

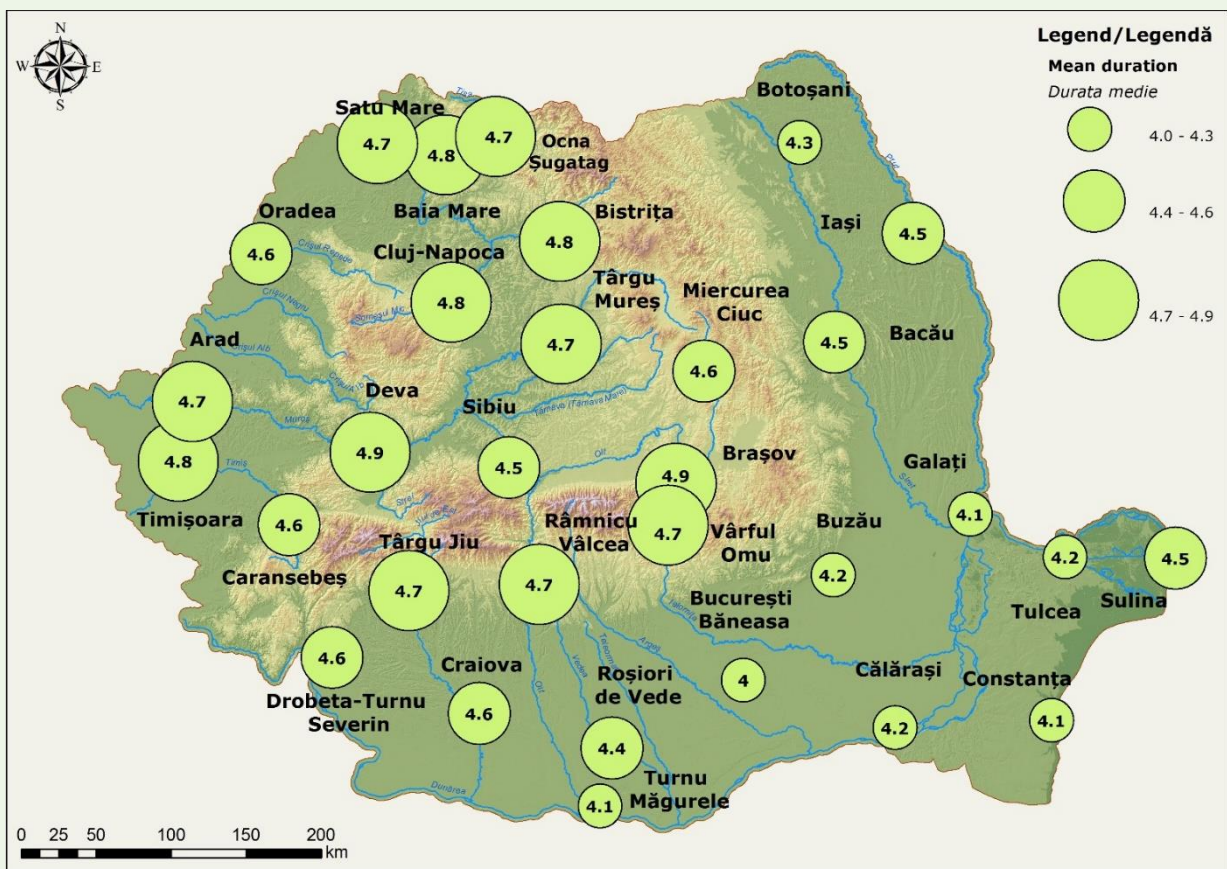


Fig. 1.78. Spatial distribution of the spring mean duration of moderate warm spells  
 Distribuția spațială a duratei medii a perioadelor calde moderate din anotimpul de primăvară

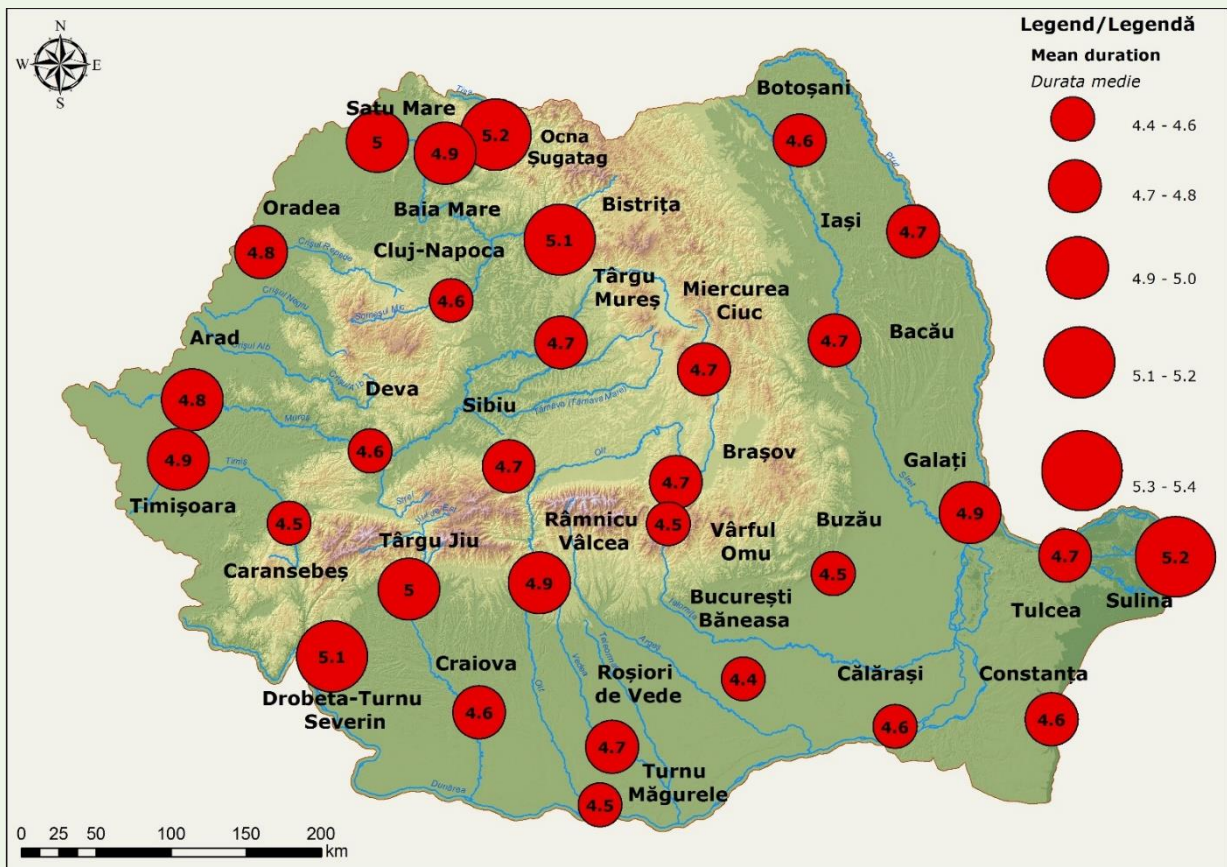


Fig. 1.79. Spatial distribution of the summer mean duration of moderate heat waves  
 Distribuția spațială a duratei medii a valurilor de căldură moderate din anotimp de vară

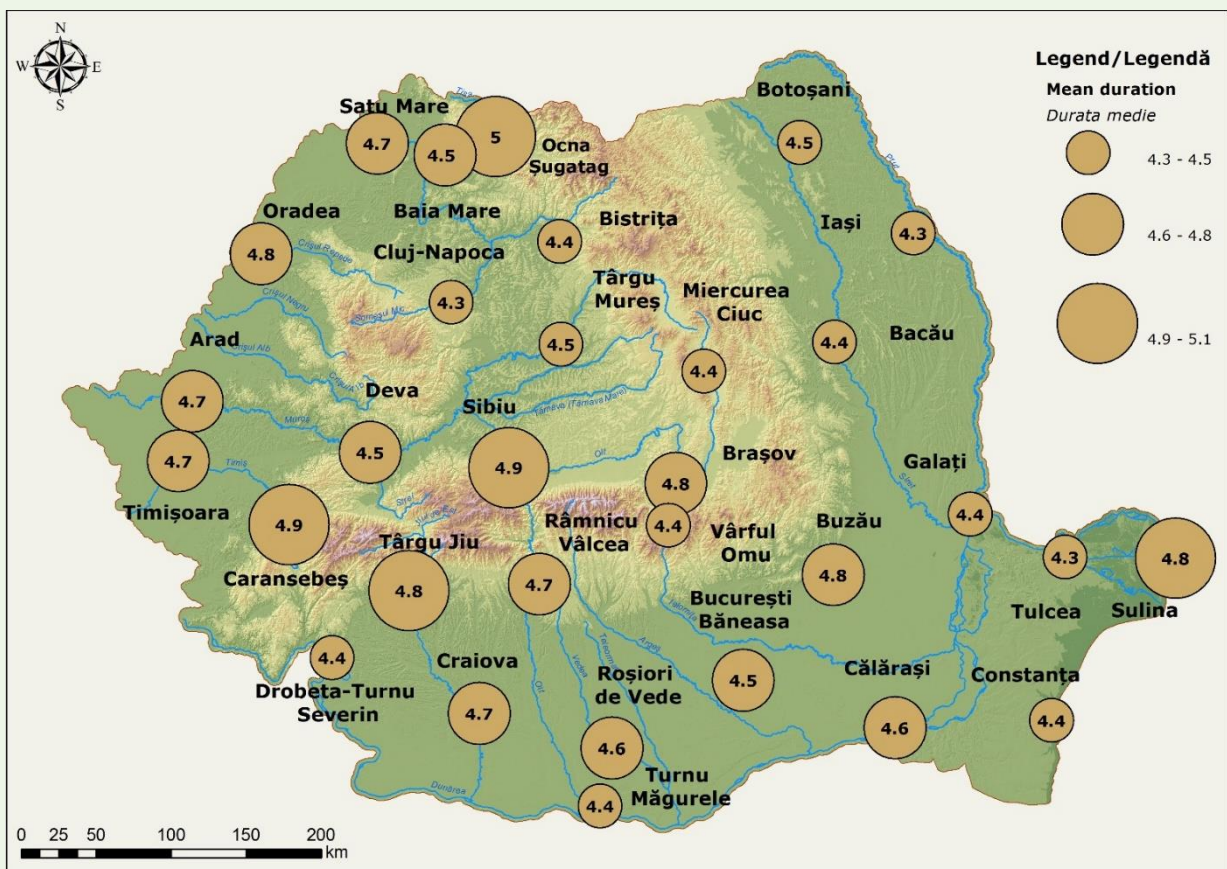


Fig. 1.80. Spatial distribution of the autumn mean duration of moderate warm spells  
 Distribuția spațială a duratei medii a perioadelor calde moderate din anotimp de toamnă

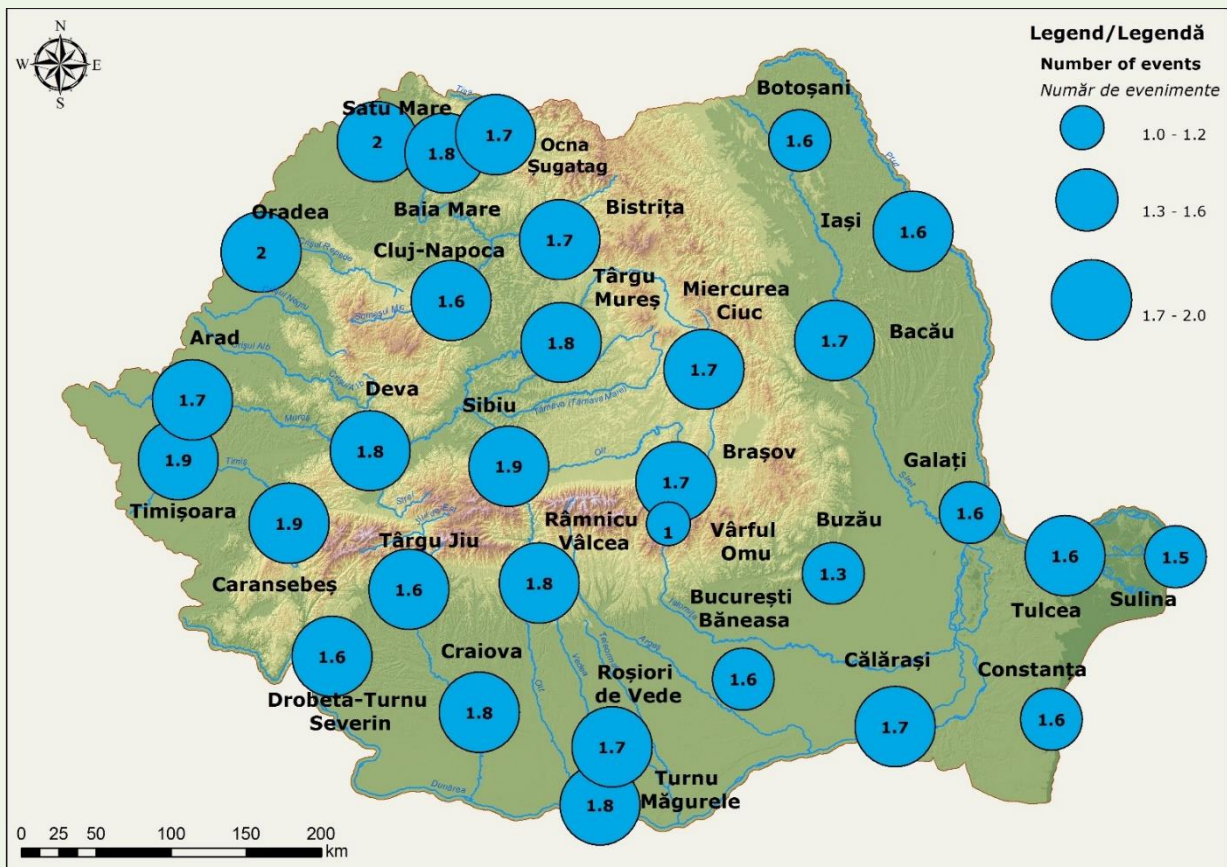


Fig. 1.81. Spatial distribution of the winter mean number of moderate warm spells  
 Distribuția spațială a numărului mediu al perioadelor calde moderate din anotimpul de iarnă

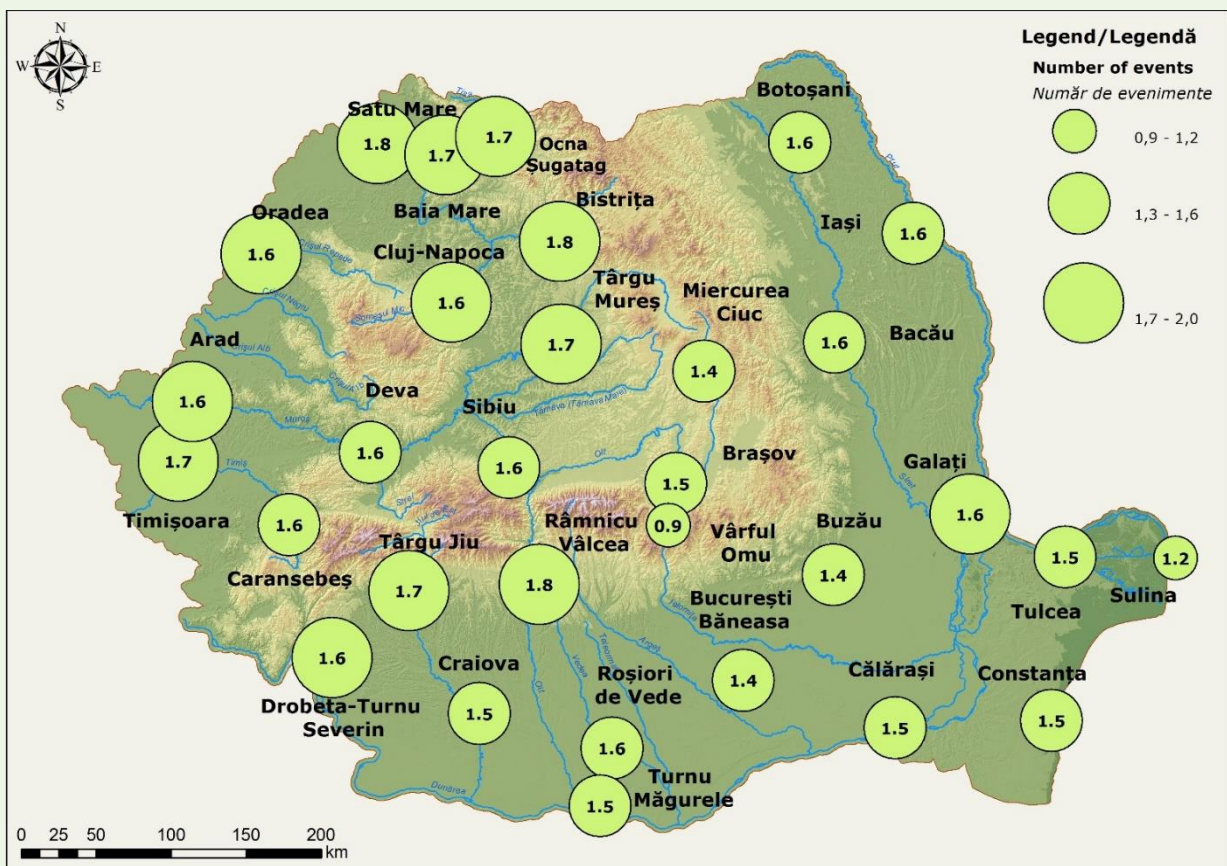


Fig. 1.82. Spatial distribution of the spring mean number of moderate warm spells  
 Distribuția spațială a numărului mediu al perioadelor calde moderate din anotimpul de primăvară

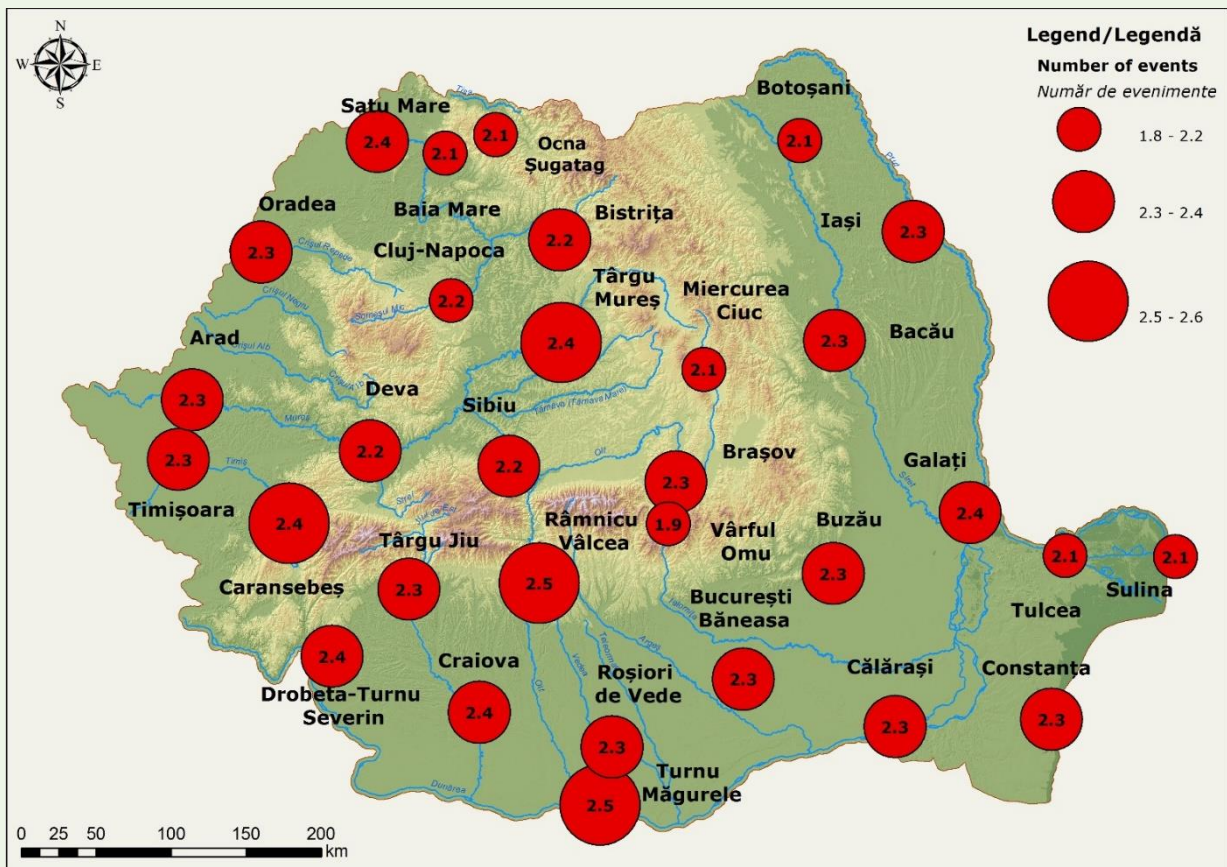


Fig. 1.83. Spatial distribution of the summer mean number of moderate heat waves  
 Distribuția spațială a numărului mediu al valurilor de căldură moderate din anotimpul de vară

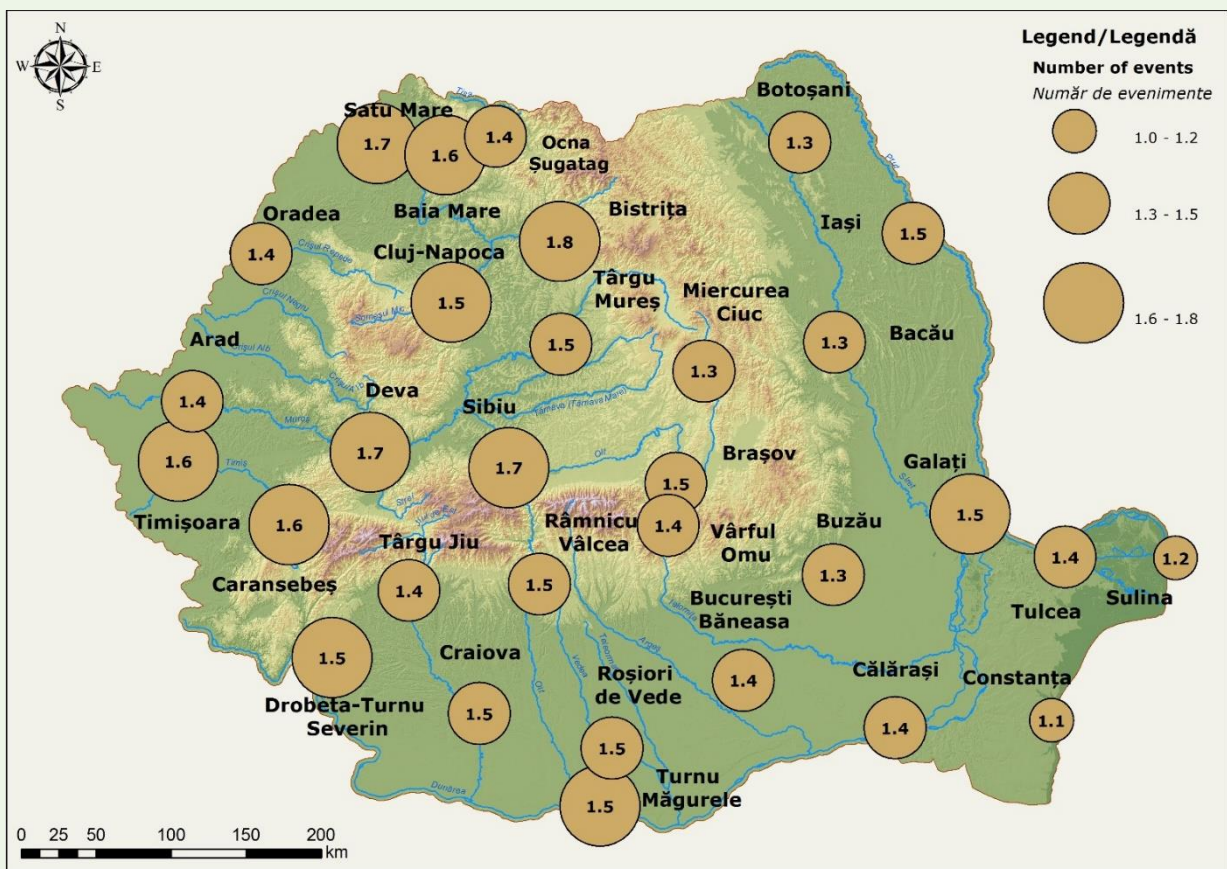


Fig. 1.84. Spatial distribution of the autumn mean number of moderate warm spells  
 Distribuția spațială a numărului mediu al perioadelor calde moderate din anotimpul de toamnă